

Diversidad genética de genotipos de arroz resistentes y susceptibles al daño mecánico producido por el insecto sogata

Genetic diversity of resistance and sensitive rice genotypes to sogata mechanical damage

Rosalía Velásquez^{1*}, Nelly Delgado² y Luis Angulo-Graterol¹

¹Universidad Central de Venezuela (UCV). Facultad de Agronomía (FAGRO). Apdo. 4579. Maracay 2101A, estado Aragua. Venezuela.

²Instituto Nacional de Investigaciones Agrícola (INIA). Apdo. 3303, Araure, estado Portuguesa Venezuela.

*Correos electrónicos: rvelasquezsalazar@gmail.com, delgado.nelly@gmail.com, anguloluis2009@gmail.com

RESUMEN

La familia Delphacidae es un grupo de insectos que producen daños de importancia en los cereales. Por ello, se estudió la diversidad genética entre seis genotipos de arroz (*Oryza sativa L.*), con diferentes comportamientos de resistencia y susceptibilidad al daño mecánico producido por sogata (*Tagosodes orizicolus*), por medio de marcadores moleculares microsatélites SSR, distribuidos en los doce cromosomas del arroz. Se utilizaron 151 SSR para el análisis de agrupamiento UPGMA y distancia Dice. En el análisis, se conformaron tres grupos diferenciados con una correlación cofenética de 0,87; el primero constituido por Bluebonnet 50; en el segundo grupo: D-Sativa, Cimarrón, Venezuela 21 y Zeta 15, y el último grupo por Makalioka. Los coeficientes de similitud de los grupos fueron 0,55; 0,74 y 0,66 para cada una de las agrupaciones. Se observó claramente la separación en la formación de los grupos entre Makalioka y Bluebonnet 50, como genotipos resistente y susceptible, respectivamente. El análisis molecular reflejó una variabilidad genética estrecha para los genotipos evaluados. En la determinación del polimorfismo entre progenitores contrastantes para el daño mecánico de sogata, el mayor porcentaje fue observado entre los cultivares Zeta 15 y Bluebonnet 50 con un 23,18%, seguido por Cimarrón y Bluebonnet 50 con 20,53%, y el menor porcentaje para D-Sativa y Venezuela 21; y Zeta 15 y Venezuela 21; para un 12,58% y 4,64%, respectivamente. Estos resultados serán empleados en la identificación y asociación entre SSR, con características relacionadas al daño mecánico por sogata.

Palabras clave: *Oryza sativa L.*, *Tagosodes orizicolus*, análisis de agrupamiento, marcadores moleculares, microsatélites.

ABSTRACT

The Delphacidae family is a group of insects that cause significant damage in cereals. Genetic diversity among six genotypes of rice (*Oryza sativa L.*), with different behaviors for resistance and susceptibility to mechanical damage from sogata (*Tagosodes orizicolus*) was studied by molecular SSR microsatellite markers, distributed in the twelve rice chromosomes. 151 SSR were used for UPGMA clustering analysis and Dice distance. In the discriminant analysis, three groups were formed with cophenetic correlation of 0.87, the first constituted by Bluebonnet 50; in the second group were D-Sativa, Cimarron, Venezuela 21 and Zeta 15; and in the last group was Makalioka. Similarity coefficients of the groups were 0.55, 0.74 and 0.66 for each of the clusters. Clear separation was observed in the formation of groups between Makalioka and Bluebonnet 50 as resistant and susceptible genotypes, respectively. Molecular analysis showed a close genetic variability for genotypes. In determining the polymorphism between contrasting parents for mechanical sogata damage, the highest percentage 23.18% was observed between Zeta 15 and Bluebonnet 50 cultivars, followed by Cimarron and Bluebonnet 50 with 20.53%, and the lowest percentage for D-Sativa and Venezuela 21, and Venezuela 21 and Zeta 15, with 12.58% and 4.64%, respectively. These results will be used in the identification and association between SSR and characteristics related to mechanical sogata damage.

Key words: *Oryza sativa L.*, *Tagosodes orizicolus*, clustering analysis, microsatellite, molecular markers.

INTRODUCCIÓN

La familia Delphacidae es un grupo de insectos considerados plagas que producen estragos de importancia en los cereales (arroz, maíz, trigo, sorgo, entre otros) a nivel mundial. Estas pérdidas son ocasionadas durante la puesta, alimentación o transmisión de diferentes fitopatógenos (Vivas y Astudillo, 2008; Remes, 2001). *Tagosodes orizicolus* pertenece a esta familia de insectos, la cual puede ocasionar dos tipos de daños, uno llamado “daño directo o mecánico” que causa pequeñas incisiones en el tejido foliar a fin de alimentarse u ovipositar; y otro, trasmisor del virus de la hoja blanca (VHB) en arroz o daño indirecto (Vivas y Astudillo, 2008; Jennigs *et al.*, 1981).

En los distintos programas de mejoramiento genético a nivel nacional e internacional, se han venido utilizando los marcadores moleculares como una alternativa confiable y precisa de selección de genotipos promisarios (Pérez-Almeida *et al.*, 2011; Arnao *et al.*, 2007; Triana *et al.*, 2004; McCough *et al.*, 1997). El uso de estos marcadores ha brindado un gran apoyo para la identificación de loci cuantitativos (QTL) para la resistencia a insectos y patógenos; además de la selección de genotipos o materiales deseables agronómicamente.

En el Centro Internacional de Agricultura Tropical (CIAT), se han realizado estudios preliminares de asociación entre los marcadores de ADN, tipo RAPD y la resistencia a *T. orizicolus* en las líneas de arroz desarrolladas en los programas de mejoramiento de Colombia, con el objeto de facilitar la selección de genotipos resistentes (Picca *et al.*, 2004; Triana *et al.*, 2004).

El presente trabajo de investigación tuvo como objetivos, estudiar la diversidad genética entre los genotipos de arroz resistentes y susceptibles al daño mecánico provocados por sogata, empleando marcadores moleculares microsatélites, al tiempo de determinar el polimorfismo entre genotipos de arroz resistentes y susceptibles.

MATERIALES Y MÉTODOS

El ensayo fue conducido en el Laboratorio de Genética Molecular (LGM) del Centro de Investigaciones en Biotecnología Agrícola (CIBA) de la

Universidad Central de Venezuela, Facultad de Agronomía (FAGRO), Maracay.

Con la finalidad de identificar los alelos entre los materiales resistentes y susceptibles al daño mecánico producido por sogata. Se realizaron cruzamientos entre cultivares de arroz resistentes del daño mecánico: Cimarrón, Z-15 y D-sativa; y cultivares susceptibles: Venezuela-21 y BlueBonnet-50 (testigo susceptible). Además, se utilizó el cultivar Makalioka como testigo resistente (INIA, 2005; Álvarez *et al.*, 2000). Los cruces fueron: Cimarrón x Bluebonnet 50 (CB); Zeta 15 x Bluebonnet 50 (ZB); Zeta 15 x Venezuela 21 (ZV) y D-Sativa x Venezuela 21 (DV).

Estos cruces fueron realizados en el campo experimental del Instituto de Genética durante el año 2010, de acuerdo al método simplificado para cruzamientos en arroz, FLAR (1996). La evaluación del polimorfismo entre los progenitores, se realizó mediante el uso de 151 marcadores microsatélites, distribuidos a lo largo de los doce cromosomas del genoma del arroz (Cuadro 1).

El ADN de cada progenitor se obtuvo siguiendo los pasos de la metodología descrita por Risterucci *et al.* (2000) y modificada por Pérez-Almeida *et al.* (2011), como se detalla a continuación: en tubos de 30 ml se colocaron 0,5 g del tejido macerado y se agregó 5 ml del tampón de extracción (100 mM Tris-HCl pH 8.0, 1,4M NaCl, 20 mM EDTA, 2% CTAB, 1% polietileno-glicol y 0,5% de sulfato de sodio), precalentado a 74 °C. Se aplicó vortex por 3 seg. Los tubos fueron incubados a 74 °C durante 20 min, se les aplicó vortex por 10 seg y se dejaron enfriar a temperatura ambiente. Se agregaron 5 ml de clorofórmico: alcohol isoamílico (24:1) a cada tubo y se agitaron por inversión 50 veces, para ser centrifugados a 10.000 rpm durante 15 min.

Las condiciones de amplificación por PCR utilizada fueron descritas por Arnao *et al.* (2003), con algunas modificaciones del LGM del CIBA. Se evaluaron 151 microsatélites distribuidos en todo el genoma del arroz, la mezcla de reacción para la amplificación estuvo constituida por 1,33 ng μl^{-1} ADN, 3,33 mM MgCl₂, 0,2 μM de los microsatélites (sentido y antisentido), 0,33 μM dNTP's y 0,033U μl^{-1} Taq comercial, completando a un volumen final de 15 μl^{-1} con Buffer1X.

Cuadro 1. Marcadores microsatélites empleados en la evaluación molecular para la determinación del polimorfismo de las variedades de arroz.

Nº	SSR	C	Motivo repetitivo	Pb	Sentido		Antisentido	T
						Sentido		
1	RM1	1	(GA)26	113	GGAAAAACACAATGCAAAA		GCCTGGTTGGACCTGAC	55
2	RM5	1	(GA)14	113	TGCAAATTCTAGCTGCTCGA		GCATCCGATCTGATGGG	55
3	RM9	1	(GA)15GT(GA)2	136	GGGCCATTGTCCTC		ACGGCCCTCATCACCTTC	55
4	RM14	1	(GA)18	191	CGAGGAGGGAGTTGAC		GTGCCAATTTCCTCGAAAAA	55
5	RM23	1	(GA)15	145	CATTGGAGTGGGGCTGG		GTAGGGCTCTGCCATTCTC	55
6	RM1117	1	(AG)12	143	TTCCGGTACCTCCGTGACATC		ACCAGAACCTCTGTAGCGC	55
7	RM125	1	(CT)13	185	CGAACGCCCTAGAAGGGCTCC		CGCGAGGTTGCTATGGGG	67
8	RM212	1	(CT)24	136	CCACTTCAGCTACTACCAG		CACCCATTGTCCTCATTATG	55
9	RM220	1	(CT)17	127	GAAGGTAACGTGTTCCAAC		GAAATGCTTCCCACATGTCT	55
10	RM226	1	(AT)38	274	AGCTAAGGTTCTGGGAGAAACC		AAGTAGGATGGGGCAACAAGCT	55
11	RM327	1	(CT)18	130	CAAATCCCGACTGCTGTCC		TGGGAAGGAGCACTACAGC	55
12	RM283	1	(GA)18	151	GTCTACATGTACCCTTGGGG		GGCATGAGAGTGTGTGATG	55
13	RM306	1	(GT)18(AT)8GT(GT)6	155	CAAGGTCAAAGAATGCAATGG		GCCACTTTAATCATGGCATC	55
14	RM315	1	(AT)4(GT)10	133	GAGGTACTTCCCTCGTTTCAC		AGTCAGCTCACTGTGCAGTG	55
15	RM243	1	(CT)18	116	GATCTGCAGACTGCAGTTGC		AGCTGCAACGATGTTGTC	55
16	RM259	1	(CT)17	162	TGGAGTTGAGGGAGGG		CTTGTGCAATGGTGCCTATGT	55
17	RM490	1	(CT)13	101	ATCTGAACACTGCAAACACC		AGCAAGCAGTGCTTTCAGAG	55
18	RM499	1	(TA)22	116	TACCAAACACCAACACTGCG		ACTCGCAGTATCCAAGTGTACG	55
19	RM543	1	(GCG)10	98	CTGCTGCAGACTCTSCTGCG		AAATATTACCCATCCCCCCC	55
20	RM572	1	(TC)14	159	CGGTTAATGTCACTGTATTGG		TTGAGATCCAGACTGACC	55
21	RM575	1	(AG)24	201	CAATTTCACATAGGCTGCATG		GCTTGGGTTAGCGACGAC	55
22	RM580	1	(CTT)19	221	GATGAACTCGAATTTCATCC		CACTCCCATGTTGGCTCC	55
23	RM582	1	(TC)20	231	TCTGTTGCCGATTGTC		AAATGGCTTACCTGCTGTCTC	55
24	RM6	2	(AG)16	163	GTCCCCTCCACCCAAATC		TCGTCTACTGTGGCTGCAC	55
25	RM8	2	(GA)14C(GA)2	252	CACGTGGCTAAATAACACGT		GGCCAAACCCCTAACCCCTG	55
26	RM29	2	(GA)7	250	CAGGGACCCACCTGTACATC		ACAGTTGGTCATATCGGTGG	55
27	RM53	2	(GA)14	182	AGTCTCGACGCATCAATGG		CACAAGAACCTCCCTCGGTAC	55
28	RM174	2	(AGG)7(GA)10	208	AGCGACGCCAAGACAAGTCGGG		TCCACGTCGATCGACACGACGG	67
29	RM203	2	(AT)21	203	CCTATCCCATTAGCCAAACATTGC		GATTACCTCGACGCCAACCTG	55
30	RM207	2	(CT)25	118	CCATTCTCGAGAAGATCTGA		CACCTCATCCTCGTAACGCC	55

C: cromosoma; pb: pares de bases.

.../... continúa

.../... continuación Cuadro 1.

Nº	SSR	C	Motivo repetitivo	pb	Sentido		Secuencia del indicador	Antisentido	T
					Sentido	Antisentido			
31	RM211	2	(TC)3A(TC)18	161	CCGATCTCATCAACCAAATG	C TT C A C G A G G A T C T C A A A G G			55
32	RM213	2	(CT)17	139	ATCTGTTGCAGGGACAAG	AGG T C T A G A C G A T G T C G T G A			55
33	RM221	2	(TC)4T3C3(TC)(CT)2	192	ACATGTCAGC ATGCCACATC	T G C A A G A T C T G A C C C G G			55
37	RM322	2	(CAT)7	112	CAAGCGAAAATCCCAGCAG	G A T G A A A A C T G G C A T T G C C T G			55
38	RM324	2	(CAT)21	175	CTGATTCCACACACTGTGC	G A T T C C A C G T C A G G A T C T T C			55
39	RM240	2	(CT)21	132	CCTTAATGGTAGTGTCAC	T G T A A C C A T T C C T C C A T C C			55
40	RM241	2	(CT)21	132	CCTTAATGGTAGTGTCAC	T G T A A C C A T T C C T C C A T C C			55
41	RM250	2	(CT)17	153	GGTTCAAACCAAGCTGATCA	G A T G A A G G C C T T C C A C G C A G			55
42	RM450	2	(AG)7	143	AAACCACAGTAGTAGGCCGG	T C C A T C C A C A T C T C C C T C T C			55
43	RM498	2	(CA)10	213	AATCTGGGCTGCTCTTTT	T C C T A G G G T G A A G A A A G G G G			55
44	RM525	2	(AAG)12	131	GCCCCGTCACAAAGAAATTG	C G G T G A G C A G A A T C C T T A C G			55
45	RM526	2	(TAAT)5	240	CCAAGCAATAACGTCCCTAG	A C C T G G T C A T G A C A A G G A G G			55
46	RM550	2	(CCT)8	231	CTGAGCTCTGGTCCGAAGTC	G G T G G T G G A A G A A C A C G G A A G			55
47	RM555	2	(AG)11	223	TTGGATCAGCCAAAGGAGAC	C A G C A T T G T G G C A T G G A T A C			55
48	RM561	2	(GA)11	190	GAGCTGTTGGACTACGGC	G A G T A G C T T C T C C C A C C C C			55
49	RM7	3	(GA)19	180	TTGCCATGAAGTCCTCG	C C T C C C A T C A T T C G T T G T T			55
50	RM16	3	(TCG)5(GA)16	181	CGCTAGGGCAGCATCTAA	A A C A C A G C A G G T A C G G G C			55
51	RM114	3	(GA)7	209	CAGGGACGAATGTCGCCGGAG	T T G G C C C C T T G A G G G T T G T C G G			55
52	RM186	3	(CGG)5	124	TCCTCCATCTCCCGCTCCC	G G G C G T G G T G G C C T T C T C G T C			61
53	RM200	3	(GA)16	122	CGCTAGGGAATTGGATTGA	C G A T G A G C A G G T A T C G A T G A G A A G			55
54	RM231	3	(CT)16	182	CCAGATTATTCCTGAGGTC	C A C T T G C A T A G T T C T G C A T T G			55
55	RM232	3	(CT)24	158	CCGGTATCCTCGATATTGC	C C G A C T T T C C T C C T G A C G			55
56	RM282	3	(GA)15	136	CTGTGTCGAAGGGCTGGCAC	C A G T C C T G G T G C A G C A A G			55
57	RM251	3	(CT)29	147	GAATGGCAATGGCGCTAG	A T G C G G T C A A G A T T C G A T C			55
58	RM489	3	(ATA)8	271	ACTTGAGACGATGGACACC	T C A C C C A T G G A T G T G T C A G			55
59	RM523	3	(TC)14	148	AAGGCATTGCAGCTAGAAC	G C A C T T G G A G G T T G C T A G			55
60	RM532	3	(CA)9	180	TCTATAATGTAGCCCCCC	T T T C A G G G G C T T C T A C C A A C			55
61	RM545	3	(GA)30	226	CAATGGCAGAGACCCAAAAG	C T G G C A T G T A A C G A C A G T G G			55
62	RM554	3	(GA)14	259	GTTCGTCCGCTCTCGTCTC	C C C A A A A T C T G T G C C T C T C			55
63	RM569	3	(CT)16	175	GACATTCTCGCTTGCTCC	T G T C C C C T C T A A A C C C T C C			55

C: cromosoma; pb: pares de bases.

/.../ continúa

.../... continuación Cuadro 1.

Nº	SSR	C	Motivo repetitivo	pb	Secuencia del Indicador		Antisentido	T
					Sentido			
64	RM142	4	(CGG)7	240	CTCGCTATCGCCATGCCATCG		TCGAGCCATCGCTGGATGGAGG	67
65	RM261	4	C9(CT)8	125	CTACTTCTCCCCCTGTGTCG		TGTACCATGCCAAATCTCC	55
66	RM185	4	(AGG)9	197	AGTTGTTGGGAGGGAGAAAGCC		AGGAGGGCAGGGCATGCC	61
67	RM317	4	(GC)4(GT)18	155	CATACTTACCAAGTTCACGCC		CTGGAGAGTGTCACTAGTTGA	55
68	RM335	4	(CTT)25	104	GTACACACCCACATCGAGAAG		GCTCTATGCGAGTATCCATGG	55
69	RM349	4	(GA)16	136	TTGCCATTGCGTGGAGGCG		GTCCCATCATCCCTATGGTCG	55
70	RM273	4	(GA)11	207	GAAGGCCGTCGTGAAGTTACC		GTTCCTAACCTGTATCGCGAC	55
71	RM252	4	(CT)19	216	TTCGCTGACGTGATAAGTTG		ATGACTTGATCCCGAGAAACG	55
72	RM518	4	(TC)15	171	CTCTTCACTCACTCACCATGG		ATCCATCTGGAGCAAGCAAC	55
73	RM551	4	(AG)18	192	AGCCAGACTAGCATGATGTT		GAAGGGCAGAAGGGATCACAG	55
74	RM13	5	(GA)6-(GA)16	141	TCCAACATGGCAAGAGAGAG		GTTGGCATTGCGATTTCAG	55
75	RM26	5	(GA)15	112	GAGTCGACGAGGGCAGAA		CTGCGAGCGACGGTAACA	55
76	RM31	5	(GA)15	140	GATCACGATCCACTGGAGCT		AAGTCCATTACTCTCTCCC	55
77	RM164	5	(GT)16TT(GT)4	246	TCTTGGCCGTOACTGCAGATATCC		GCAGGCCCTAATGCTACAATTCTC	55
78	RM169	5	(GA)12	167	TGGCTGGCTCCGTGGTAGCTG		TCCCCGTTGCCGTTCATCCCTCC	67
79	RM173	5	(GA)9	186	CCTAACCTCGCGEATCCCCCTC		CCATGAGGGAGGGGGCGATC	67
80	RM178	5	(GA)5(AG)8	117	TCGCGTAAAAGATAAGGGGGC		GATCACCGGTTCCCTCGCCTGC	67
81	RM208	5	(CT)17	173	TCTGCAAGCCTGTCTGATG		TAAGTCGATCATTGTTGGACC	55
82	RM541	5	(TC)16	158	TATAACCGACCTCAGTGCCC		CCTTACTCCCCATGCCATGAG	55
83	RM563	5	(CCT)6	185	CGACCCCTAGGGTTCTCC		CTCGACGTGCTGGAAAGC	55
84	RM3	6	(GA)2GG(GA)25	145	ACACTGTAGCGGCCACTG		CCTCCCACTGCTCCACATCTT	55
85	RM30	6	(AG)9(GA)12	105	GGTTAGGCATGTCACGG		TCACCTCACACACGACACG	55
86	RM400	6	(ATA)63	321	ACACCGGGCTACCCAAACTC		CGGAGAGATCTGACATGTGG	55
87	RM170	6	(CCT)7	121	TCGGCTTCTCTCGTCGACG		CCCGCTTGCAAGAGGAGGCC	55
88	RM190	6	(CT)11	124	CTTTGTCTATCTCAAGACAC		TTGCAGATGTTCTCTGTATG	55
89	RM204	6	(CT)44	169	GTGACTGACTGGTCATAGGG		GCTAGCCATGCTCTGTACC	55
90	RM225	6	(CT)18	140	TGCCCATATGGTCTGGATG		GAAAGTGGATCAGGAAGGC	55
91	RM238	6	(CT)15	147	GATGAAAGCACGTGCACCA		ACAGGCAATCCGTAGACTCG	55
92	RM527	6	(GA)17	233	GGCTCGATCTAGAAAATCCG		TTGCACAGGTTGGATAGAG	55
93	RM528	6	(AGAT)9	232	GGCATCCAATTTCACCCCTC		AAATGGAGCATGGAGGTAC	55

C: cromosoma; pb: pares de bases.

.../... continua

Nº	SSR	C	Motivo repetitivo	pb	Sentido		Antisentido	T
						Secuencia del Indicador		
94	RM539	6	(TAT)21	272	GAGCGTCCTGTAAACCG		AGTAGGGTATCACGGCATCCG	55
95	RM2	7	(GA)1	150	ACGTGTCACCGCTTCCC		ATGTCGGGATCTCATCG	55
96	RM10	7	(GA)15	159	TTGTCAGAGGAGGCATCG		CAGAATGGAAATGGTCC	55
97	RM11	7	(GA)17	140	TCTCCTCTCCCCGATC		ATAGCGGGGGAGGCTTAG	55
98	RM51	7	(GA)13	142	TCTCGATTCAATGTCCTCG		CTACGTCATCATGTCCTCCC	55
99	RM134	7	(CCA)7	93	ACAAGGCCGCGAGAGATTCCG		GCTCTCCGGCTCCGATTGG	55
100	RM70	7	(ATT)33	170	GTGGACATTCAATTCAACTCG		GATGTATAAGATAGTCCC	55
101	RM3743	7	(GA)17	180	TAGCCTTGTTCCATCCATCC		CTTCCTCCCTCCCTCCCTCC	55
102	RM5420	7	(TC)16	127	CCTGATCTAACACACACCGC		GAAGTCTTGGCGGTATG	55
103	RM214	7	(CT)14	112	CTGATGATAGAAAACCTCTCTC		AAGAACAGCTGACTTCACAA	55
104	RM248	7	(CT)25	102	TCCCTGTGAAATCTGGTCCC		GTAGCCTAGCATGGTGCATG	55
105	RM542	7	(CT)22	113	TGAATCAAGCCCCCTCACTAC		CTGCAACGAGTAAGGAGAG	55
106	RM15	8	(CGT)6(CGG)5	0	CACGACGACGACGAGCAGCAGC		GCTCGAGGGAGAGGAGCCTGCC	61
107	RM44	8	(GA)16	99	ACGGGCAATCCGAACAAACC		TCGGGAAAACCTACCTTACCC	55
108	RM137	8	(CT)7	218	GACATGCCACAGCCCCACCAC		CGGGTGGTCCCCGAGGATCTTG	55
109	RM149	8	(AT)10	253	GCTGACCAACGAACCTAGGCCG		GTGGAAGGCCCTTCCTGTAACACG	55
110	RM210	8	(CT)23	140	TCACATTGCGTGGCATTG		CGAGGATGTTGTTCACTTGG	55
111	RM223	8	(CT)25	165	GAGTGAGCTGGGTGAAAC		GAAGGCAAGTCTGGCACTG	55
112	RM230	8	(AGG)4(GA)9(A(G)13	257	GCCAGACCGTGGATGTT		CACCGCAGTCACTTTCAAG	55
113	RM310	8	(GT)19	105	CCAAAACATTAAAATCATG		GCTTGTGGTCATTACCATTC	55
114	RM256	8	(CT)21	127	GACAGGGAGGTGATTGAAGGC		GTGATTTCGCCAAGGGC	55
115	RM160	9	(GAA)23	131	AGCTAGCGAGCTATAGCTTAGCTG		TCTCATCGCCATGCCGGCCTC	55
116	RM201	9	(CT)17	158	CTCGTTTATTACCTACAGTACC		CTACCTCCTTCTAGACCGATA	55
117	RM205	9	(CT)25	122	CTGGTTCTGTATGGGAGCAG		CTGGCCCTTCACGTTTCAGTG	55
118	RM215	9	(CT)16	148	CAAATGGAGCAGCAAGAGC		TGAGCACCTCCCTCTGTAG	55
119	RM219	9	(CT)17	202	CGTCGGATGATGTAAAGCCT		CATATCGGCATTGCCCTG	55
120	RM285	9	(GA)12	205	CTGTGGGCCAATATGTCAC		GGGGTGTGACATGGAGAAAG	55
121	RM316	9	(GT)8(TG)9(TTT(G)	192	CTAGTTGGCATACTGATGGC		ACGCTTATATGTTACGTCAC	55
122	RM409	9	(AGC)8	96	CCGTCTTGGCTAGGGATTG		GGGGTGTGTTGGTTCTCTG	55
123	RM242	9	(CT)26	225	GGCCAACGTTGTATGTC		TATATGCCAAGACGGATGGG	55

C: cromosoma; pb: pares de bases.

./... continua

./... continuación Cuadro 1.

Nº	SSR	C	Motivo repetitivo	pb	Secuencia del Indicador		T
					Sentido	Antisentido	
124	RM245	9	(CT)14	150	ATGCCGCCAGTGAATAAGC	CTGAAATCCAATTATCTGGGG	55
125	RM566	9	(AG)15	239	ACCCAACTACCGATCAGCTCG	CTCAGGAACACGCTCTTTC	55
126	RM184	10	(CA)7	219	ATCCCATTGCCAAAACGGCC	TGACACTTGAGAGCGGTGTGG	55
127	RM216	10	(CT)18	146	GCATGGCCATGGTAAG	TGTATAAAACACGGCCA	55
128	RM222	10	(CT)18	213	CTTAATGGGCCACATGG	CAAAGCTTCCGGCCAAAAG	55
129	RM228	10	(CA)6(GA)36	154	CTGCCATTAGTCCTTG	GCTTGGGGCTCTGCTTAC	55
130	RM311	10	(GT)3(GTAT)8(GT)5	179	TGGTAGTATAGTACTAAACAT	TCCATACACATACAAACATAC	55
131	RM239	10	(AG)5TG(AG)2	144	TACAATAATGCTGGGTACCCC	ACATATGGGACCCACCTGTC	55
132	RM258	10	(GA)21(GGA)3	148	TGCTGTATGTAGCTGCACC	TGCCCTTTAAAGCTGTGCG	55
133	RM4	11	(GA)16	159	TTGACGGGTTAGCACTGAC	AGGGTGTATCCGACTCATCG	55
134	RM21	11	(GA)18	157	ACAGTATTCCGTAGGCACGG	GCTCCATGAGGGTGGTAGAG	55
135	RM139	11	(CT)5	386	GAGAGGGAGGAAGGGGGGGC	CTGCCATGGCAGAGAAGGGGC	55
136	RM144	11	(ATT)11	237	TGCCCTGGCGAAATTGATCC	GCTAGAGGGAGATCAGATGGTAGTGCATC	55
137	RM332	11	(CTT)5-12(CTT)14	183	GCGAAGGGCGAAGGGTGAAG	AGTCGGACACACAAGTGGTTGTC	55
138	RM167	11	(GA)16	128	GATCCAGCGTGGAGAACACGT	GTGGACGGCTTTATATTAGGG	55
139	RM187	11	(AT)29(GT)7	146	CCAAGGGAAAGATGCGACAATTG	CCAGCAAGCATGTCAATGTA	55
140	RM202	11	(CT)30	189	CAGATTGGAGATGAAGTCTCC	CAACITTCGATCCTCCCCCTCC	55
141	RM209	11	(CT)18	134	ATATGAGTTGGTGTCTGTCG	TGCTATAAAAGGCATTGGG	55
142	RM224	11	(AAG)8(AG)13	157	ATCGATCGATCTTCACGAGG	CGCAGGTTCTGTGAAATGT	55
143	RM229	11	(TC)11(CT)5C3(CT)5	116	CACTCACACGAACGACTGAC	CTGGAGGAGCATTGGTAGC	55
144	RM254	11	(TC)6ATT(CT)11	165	AGCCCCGAATAATCCACCT	GGTGATCCCTCCCATTTCA	55
145	RM112	12	(GA)21	184	TGCCCTGTATTTCCTCTC	ATCAGCCCTGCCAGCTTC	61
146	RM6869	12	(TGG)8	126	GAGCTCCTGTAGTGACCCG	TCACCTGGTCAGGCCCTTTTC	55
147	RM235	12	(CT)24	124	AGAAAGCTAGGGCTAACGAAAC	AGAAGGGCCTCGGGTGAAG	55
148	RM309	12	(GT)13	169	GTAGATCACGCCACCTTTCTGG	CATATGGTTTGACAAAGCG	55
149	RM247	12	(CT)16	131	TAGTGCCGATCGATGTAACG	AGGTACGCTCACCTGTGGAC	55
150	RM519	12	(AAG)8	122	AGAGGAGCCCTAAATTCCG	CTCTCCTCTCCCTTATCG	55
151	RM453	12	(TC)10	178	CGCATCTCTCCCTTATCG		

C: cromosoma; pb: pares de bases.

./... continua

Se utilizó un termociclador BIO-RAD PTC-200 durante 34 ciclos a una temperatura de desnaturación 94 °C, alineación de 50-67 °C y extensión 72 °C. La visualización de los perfiles electroforéticos fue en geles de poliacrilamida 6% con revelado en nitrato de plata, descrito por Arnao *et al.* (2003). Las imágenes fueron capturadas en un digitalizador de imágenes marca BIORAD modelo CHEMIDOC, utilizando el programa QuantityOne v. 4.2®.

Con el perfil electroforético obtenido del ADN de cada uno de los materiales evaluados en los geles de poliacrilamida y con cada microsatélite, se generó una matriz de presencia ($p = 1$) y ausencia ($a = 0$). La matriz obtenida con todos los marcadores fue analizada con el programa estadístico PAST versión 1.42 (Hammer *et al.*, 2001) mediante análisis multivariado de conglomerados jerárquicos. Este análisis generó un árbol de clasificación jerárquica ascendente, utilizando el análisis de agrupamiento UPGMA y la distancia de Dice. Se determinó el porcentaje de SSR polimórfico para cada uno de los cruces.

RESULTADOS Y DISCUSIÓN

De los 151 microsatélites (SSR) evaluados para identificar el polimorfismo entre los parentales, se encontró que el mayor porcentaje de microsatélites polimórficos fue observado en el cruce entre los cultivares Zeta 15 y Bluebonnet 50 con un 23,18%, seguido por Cimarrón y Bluebonnet 50 con un 20,53%; hallando el menor número

de microsatélites polimórficos en los cruces de D-Sativa x Venezuela 21, Zeta 15 x Venezuela 21, con un 12,58% y un 4,64%, respectivamente (Cuadro 2). Estos resultados corroboran los encontrados por Acevedo *et al.* (2007) al señalar la estrecha base genética que presentan los Bancos de germoplasmas del país.

La mayoría de los microsatélites utilizados mostraron la presencia de dos alelos bien diferenciados entre los parentales y distribuidos a lo largo de todo el genoma. En el Cuadro 3, se pudo determinar que entre Zeta 15 y Bluebonnet 50, se encontró que el 25,71% (9) de los SSR polimórficos, se ubican en el cromosoma 2, seguido con un 14,29% (5) de los microsatélites ubicados en el cromosoma 3.

Por otro lado, entre D-sativa y Venezuela 21 se localizaron 19 microsatélites polimórficos, donde el 21,06% (4) de los SSR se encuentran en el cromosoma 2 y el 15,78% (3) de los marcadores se hallaron en los cromosomas 6 y 9. Este bajo polimorfismo encontrado entre estos progenitores, posiblemente sea debido a que ambas variedades presentan un ancestro común, ya que ambas provienen del CIAT y el FLAR, tal como lo registra Pieters *et al.* (2011). Mientras que para Cimarrón y Bluebonnet 50, se identificó que el 19,36% de los SSR se ubicaron en el cromosoma 2, seguido por un 12,9% de los marcadores ubicados en los cromosomas 1, 3 y 9. Entre los parentales Zeta 15 y Venezuela 21, se apreció que el 42,85% de los microsatélites evaluados, se ubicaron en el cromosoma 2, el resto de los marcadores ubicado en los cromosomas 1, 4, 6 y 9.

Cuadro 2. Porcentaje de microsatélites (SSR) polimórficos entre los cruce realizados.

Cruce	Progenitores	Nº SSR polimórficos	% SSR polimórficos
1	Zeta 15 x BlueBonnet-50	35	23,18
2	D-Sativa x Venezuela 21	19	12,58
3	Cimarrón x BlueBonnet-50	31	20,53
4	Zeta 15 x Venezuela 21	7	4,64

Cuadro 3. Número y porcentaje de microsatélites polimórficos entre los progenitores utilizados en los cruces y su distribución por cromosoma.

Nº cromosoma	Z15/BB50		Vzla21/Dsat		Cimarrón/BB50		Z15/Vzla 21	
	Nº SSR	% SSR	Nº SSR	% SSR	Nº SSR	% SSR	Nº SSR	% SSR
1	3	8,57	1	5,26	4	12,9	1	14,28
2	9	25,71	4	21,06	6	19,36	3	42,85
3	5	14,29	1	5,26	4	12,9	0	0
4	1	2,85	1	5,26	2	6,45	1	14,28
5	1	2,85	1	5,26	2	6,45	0	0
6	1	2,85	3	15,78	0	0	1	14,28
7	3	8,57	1	5,26	2	6,45	0	0
8	1	2,85	1	5,26	1	3,23	0	0
9	3	8,57	3	15,78	4	12,9	1	14,28
10	1	2,85	0	0	1	3,23	0	0
11	4	11,43	2	10,53	3	9,67	0	0
12	3	8,57	1	5,26	2	6,45	0	0
Total	35	100	19	100	31	100	7	100

Z15= Zeta 15; BB-50= BlueBonnet-50; Vzla21= Venezuela 21; Dsat= D-Sativa.

El polimorfismo encontrado entre los materiales y los testigos de resistencia y susceptibilidad, Makalioka y Bluebonnet 50, respectivamente, permitió determinar el grado de disimilitud existente entre ellos.

El análisis de agrupamiento UPGMA con distancia Dice, generó tres grupos (ver Figura) y una correlación cofenética de 0,87 para este estudio intraespecífico. El primer grupo constituido por Bluebonnet 50; el segundo grupo por D-Sativa, Cimarrón, Venezuela 21 y Zeta 15 y el último grupo por Makalioka. Los coeficientes de similitud de los grupos fueron 0,55; 0,74 y 0,66, respectivamente.

Se observó, claramente la separación en la formación de los grupos para las diferencias entre resistencia y susceptibilidad, específicamente para Makalioka y Bluebonnet 50. Dichos genotipos, se

ubicaron en dos grupos distintos con una distancia genética de 0,55; y por ello, las variedades comerciales venezolanas quedaron clasificadas en un mismo grupo, lo que confirma la estrecha variabilidad genética entre ellos. (Angulo et al., 2006; Arnao et al., 2007, Arnao et al., 2008; Pérez-Almeida et al., 2011a; 2011b).

La importancia de este estudio radicó en que se demostró la asociación entre microsatélites y resistencia al daño mecánico por sogata, al igual que la encontrada por Tohme (2010) quien identificó los microsatélites asociados a la resistencia a hoja blanca y el daño mecánico a sogata, mencionando que los mismos, se ubicaban en la mayoría de los casos en los cromosomas 4, 5 y 7; sin embargo, en este trabajo, se observó la presencia de al menos un marcador polimórfico en esos cromosomas.

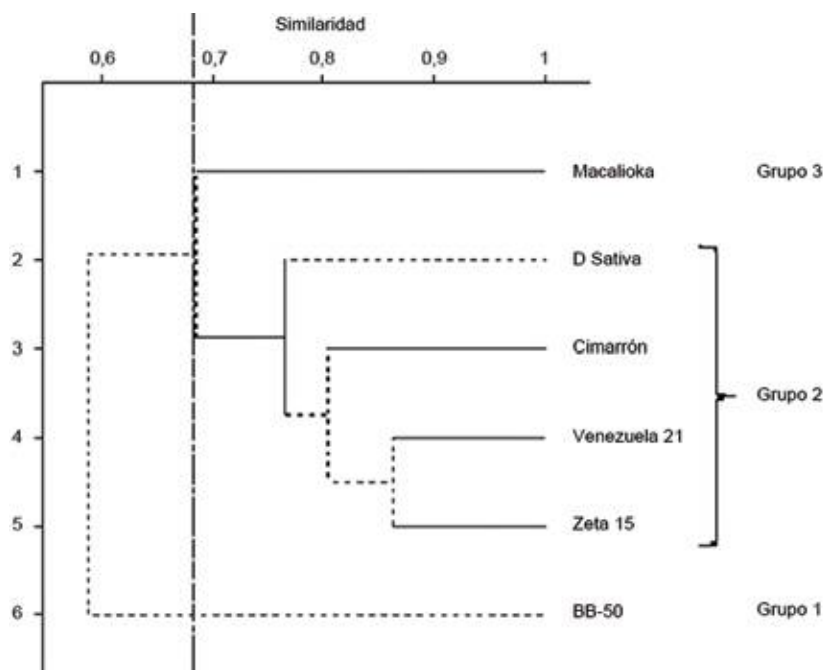


Figura. Dendrograma del análisis de agrupamiento UPGMA para seis cultivares de arroz, distancia genética de Dice.

CONCLUSIONES

La aplicabilidad de marcadores moleculares microsatélites representa una herramienta confiable en el estudio de la diversidad genética del arroz. El análisis de diversidad genética entre los cultivares de arroz mostró grupos con variabilidad genética estrecha. En el análisis de agrupamiento se evidenció la separación entre genotipos resistentes, de los susceptibles al daño mecánico por sogata.

La estrategia de marcadores moleculares microsatélites permitió identificar el polimorfismo entre los cruzamientos de genotipo de arroz resistentes y susceptibles. Este estudio puede ser la base para futuros trabajos de mapeo genético, grupos de ligamientos y asociación de microsatélites con características fenotípicas, relacionadas al daño mecánico por sogata.

LITERATURA CITADA

Acevedo M., E. Torres, O. Moreno, R. Álvarez, O. Torres, W. Castrillo, G. Torrealba, E. Reyes, M. Salazar y M. Navas. 2007. Base genética de

los cultivares de arroz de riego liberados en Venezuela. *Agronomía Trop.* 57(3):197-204.

Álvarez R., C. Gamboa, M. Triana, M. Duque y J. Silva. 2000. Mecanismo de resistencia a *Tagasodesorizicolus* Muir (Homoptera: Delphacidae) de tipo antibiótico y no preferencia en algunas líneas de arroz (*Oryza sativa* L.). *Investigación Agrícola* N° 5:1-12.

Angulo L., C. Ramis, M. Perdomo e I. Pérez-Almeida. 2006. Estudio de la Base Genética de las variedades de arroz de Venezuela a través de microsatélites. Trabajo presentado en el IX Congreso Latinoamericano de Botánica. Santo Domingo-Republ. Dominicana.

Arnao E., A. Vegas, Z. Gutiérrez y C. Marín. 2003. Estandarización de la técnica de PCR para la caracterización genética de una población Venezolana de *Pyricularia grisea*. *Fitopatol. Venez.* 16:3-7.

Arnao E., N. Rodríguez, P. Hinrinsen, Y. Jayaro, C. Ramis e I. Pérez-Almeida. 2007. Evaluación de la diversidad genética de subespecies de

- arroz usando marcadores microsatélites y AFLP. *Agronomía Trop.* 57(1):45-50.
- Arnao E., Y. Jayaro, P. Hinrinsen, C. Ramis, C. Marín e I. Pérez-Almeida. 2008. Marcadores AFLP en la evaluación de la diversidad genética de variedades y líneas élitres de arroz en Venezuela. *Interciencia*. 33(5):359-364.
- Fondo Latinoamericano de Arroz de Riego (FLAR). 1996. Un método simplificado para cruzamientos en arroz. Manual Técnico. CIAT, Colombia. 35 p.
- Hammer, O., D. A. Harper and P. D. Ryan. 2001. Past Paleontological Statistics Software Package for Education of Data Analysis. Versión 1.42. Paleontología Electrónica. 4:1-9.
- Instituto Nacional de Investigaciones Agrícolas (INIA). 2005. Programa de arroz. Disponible en: www.inia.gob.ve. [Jul. 15, 2005].
- Jennings P. R., W. R. Coffman y H. Kauffman. 1981. Mejoramiento de Arroz. Centro Internacional de Agricultura Tropical (CIAT). Colombia. 237 p.
- McCough S., X. Chen, O. Panaud, S. Temnykh, Y. Xu, Y. Cho, N. Huamg, T. Ishii and M. Blair. 1997. Microsatellites marker development, mapping and applications in rice genetics and breeding. *Plant Molecular Biology*. 35:89-99.
- Pérez-Almeida I., E. Torres, L. Angulo y M. Acevedo. 2011a. Diversidad genética entre cultivares de arroz de Venezuela con base a la estimación del coeficiente de parentesco y análisis con marcadores moleculares microsatélites (SSR). *Interciencia*. 36(7):545-551.
- Pérez-Almeida I., L. Angulo, G. Osorio, C. Ramis, A. Bedoya, R. Figueroa-Ruiz, S. Molina e I. Diógenes. 2011b. Método modificado de obtención de ADN genómico en orquídeas (*Cattleya spp.*) para amplificación con marcadores moleculares. *Bioagro*. 23(1):27-34.
- Picca A. M., N. Helguera, A. Salomón y A. Carrera. 2004. Marcadores Moleculares en Biotecnología y Mejoramiento Genético Vegetal. Editores Echenique, V., C. Rubinstein y L. Mogridki. Ediciones INTA. Argentina. 462 p.
- Pieters A., E. Graterol, E. Reyes, R. Álvarez y A. González. 2011. Cincuenta años de mejoramiento de arroz en Venezuela. ¿Qué se ha logrado? *Interciencia*. 36(12):943-948.
- Remes M. 2001. *Tagosodes oryzicolus* (Muir, 1926) vector del virus de la hoja blanca del arroz (HBV) en la República Argentina (Homoptera-Delphacidae). *Rev. Fac. Agronomía La Plata*. 104(2):151-156.
- Risterucci A., L. Grivet, J. Goran, I. Pieretti, M. Flamet and C. Lanaud. 2000. A high-density linkage map of *Theobroma cacao* L. *Theoretical and Applied Genetics*. 101:948-955.
- Triana M., I. Lozano, L. Calvert, R. Meneses y C. Martínez. 2004. Marcadores moleculares asociados con la resistencia a *Tagosodes oryzicolus* (Muir). Disponible en línea: <http://www.CIAT.cgiar.org>. [Jul. 20, 2005].
- Tohme J. 2010. Las perspectivas desde la genómica hacia la reconstrucción del genoma del arroz. XI Conferencia Internacional del Arroz. CIAT. Cali-Colombia. Resúmenes. 45 p.
- Vivas C. L. y D. Astudillo. 2008. Enfermedades virales transmitidas por la familia Delphacidae con énfasis en el insecto sogata (*Tagosodes oryzicolus*). INIA Hoy. 1:1-19.